

Ultimo aggiornamento delle informazioni: Febbraio 2025

Configurazione di prodotto: QI32

QI32: pannello 1200x300 mm - warm white - schermo opale - DALI



Codice prodotto

QI32: pannello 1200x300 mm - warm white - schermo opale - DALI

Descrizione tecnica

Apparecchio 1200x300 mm per installazione ad appoggio su pannelli modulari, in tonalità di colore neutral white 3000K. Il vano ottico è composto da una cornice in lamiera d'acciaio bianca, uno schermo diffusore in metacrilato satinato per emissione luce generale e un fondello di chiusura posteriore in lamiera. I LED sono disposti nel perimetro e il driver DALI è alloggiato nella parte superiore del prodotto. Possibilità di installazione ad incasso o sospensione tramite accessorio da ordinare separatamente. Versioni a plafone solo su richiesta.

Installazione

Ad appoggio su pannelli modulari 1200x300 mm. Ad incasso tramite accessorio da ordinare separatamente, a sospensione tramite accessorio da ordinare separatamente.

Colore

Bianco (01)

Peso (Kg)

4,3

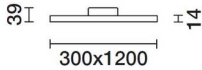
Montaggio

incasso a soffitto|a soffitto|sospeso a soffitto

Cablaggio

prodotto completo di componentistica elettronica

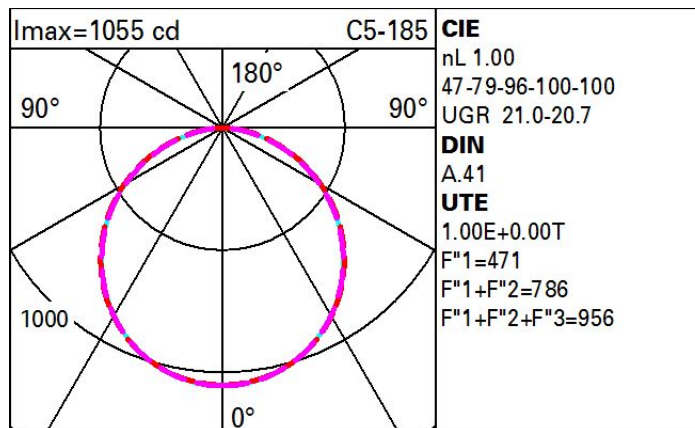
Soddisfa EN60598-1 e relative note



Dati tecnici

| | | | |
|--|------|------------------------------------|---------------------------------|
| Im di sistema: | 3000 | CRI (minimo): | 90 |
| W di sistema: | 37.5 | Temperatura colore [K]: | 3000 |
| Im di sorgente: | - | Life Time LED 1: | > 50,000h - L80 - B10 (Ta 25°C) |
| W di sorgente: | - | Codice lampada: | LED |
| Efficienza luminosa (lm/W, dati di sistema): | 80 | Numero di lampade per vano ottico: | 1 |
| Im in modalità emergenza: | - | Codice ZVEI: | LED |
| Flusso totale emesso a 90° o superiore [Lm]: | 0 | Numero di vani ottici: | 1 |
| Light Output Ratio (L.O.R.) [%]: | 100 | Control: | DALI-2 |

Polare



Coefficienti di utilizzazione

| R | 77 | 75 | 73 | 71 | 55 | 53 | 33 | 00 | DRR |
|------|-----|----|----|----|----|----|----|----|-----|
| K0.8 | 65 | 55 | 47 | 42 | 53 | 47 | 46 | 39 | 39 |
| 1.0 | 72 | 62 | 55 | 49 | 61 | 54 | 53 | 46 | 46 |
| 1.5 | 83 | 74 | 68 | 63 | 73 | 67 | 66 | 59 | 59 |
| 2.0 | 89 | 82 | 77 | 72 | 80 | 75 | 74 | 68 | 68 |
| 2.5 | 92 | 87 | 82 | 78 | 85 | 81 | 79 | 74 | 74 |
| 3.0 | 95 | 90 | 86 | 83 | 88 | 85 | 83 | 78 | 78 |
| 4.0 | 98 | 94 | 91 | 88 | 92 | 89 | 88 | 83 | 83 |
| 5.0 | 100 | 97 | 94 | 92 | 95 | 92 | 91 | 86 | 86 |

Curva limite di luminanza

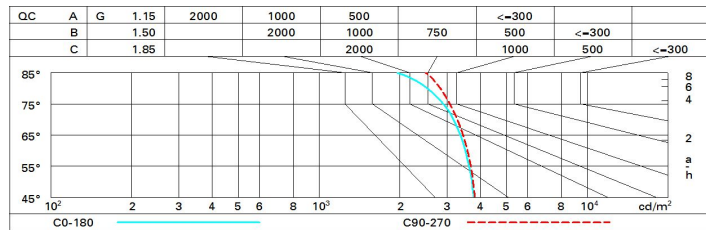


Diagramma UGR

| Corrected UGR values (at 3000 lm bare lamp luminous flux) | | | | | | | | | | | |
|---|------|------------------|------|------|------|------------|----------------|------|------|------|------|
| Reflect.: | | viewed crosswise | | | | | viewed endwise | | | | |
| ceil/cav | | 0.70 | 0.70 | 0.50 | 0.50 | 0.30 | 0.70 | 0.70 | 0.50 | 0.50 | 0.30 |
| walls | | 0.50 | 0.30 | 0.50 | 0.30 | 0.30 | 0.50 | 0.30 | 0.50 | 0.30 | 0.30 |
| work pl. | | 0.20 | 0.20 | 0.20 | 0.20 | 0.20 | 0.20 | 0.20 | 0.20 | 0.20 | 0.20 |
| Room dim | | | | | | | | | | | |
| x | y | | | | | | | | | | |
| 2H | 2H | 17.2 | 18.3 | 17.5 | 18.0 | 18.9 | 17.2 | 18.4 | 17.0 | 18.7 | 19.0 |
| | 3H | 18.7 | 19.8 | 19.1 | 20.1 | 20.4 | 17.7 | 18.8 | 18.1 | 19.1 | 19.4 |
| | 4H | 19.3 | 20.3 | 19.7 | 20.6 | 20.9 | 17.9 | 18.9 | 18.3 | 19.2 | 19.6 |
| | 6H | 19.7 | 20.7 | 20.1 | 21.0 | 21.3 | 18.0 | 18.9 | 18.4 | 19.3 | 19.6 |
| | 8H | 19.9 | 20.8 | 20.3 | 21.1 | 21.5 | 18.0 | 18.9 | 18.4 | 19.2 | 19.6 |
| 12H | 19.9 | 20.8 | 20.3 | 21.1 | 21.5 | 18.0 | 18.8 | 18.4 | 19.2 | 19.6 | |
| 4H | 2H | 17.9 | 18.9 | 18.2 | 19.2 | 19.5 | 19.5 | 20.5 | 19.8 | 20.8 | 21.1 |
| | 3H | 19.6 | 20.4 | 20.0 | 20.8 | 21.2 | 20.2 | 21.0 | 20.5 | 21.4 | 21.7 |
| | 4H | 20.3 | 21.1 | 20.7 | 21.4 | 21.8 | 20.4 | 21.2 | 20.9 | 21.6 | 22.0 |
| | 6H | 20.8 | 21.5 | 21.3 | 21.9 | 22.3 | 20.7 | 21.3 | 21.1 | 21.7 | 22.2 |
| | 8H | 21.0 | 21.6 | 21.5 | 22.1 | 22.5 | 20.7 | 21.3 | 21.2 | 21.8 | 22.2 |
| 12H | 21.1 | 21.7 | 21.6 | 22.1 | 22.6 | 20.7 | 21.3 | 21.2 | 21.7 | 22.2 | |
| 8H | 4H | 20.6 | 21.2 | 21.1 | 21.6 | 22.1 | 21.3 | 21.9 | 21.7 | 22.3 | 22.8 |
| | 6H | 21.3 | 21.8 | 21.8 | 22.2 | 22.7 | 21.6 | 22.2 | 22.1 | 22.6 | 23.1 |
| | 8H | 21.5 | 22.0 | 22.0 | 22.4 | 22.9 | 21.8 | 22.2 | 22.3 | 22.7 | 23.2 |
| | 12H | 21.7 | 22.1 | 22.2 | 22.5 | 23.1 | 21.9 | 22.3 | 22.4 | 22.8 | 23.3 |
| 12H | 4H | 20.6 | 21.2 | 21.1 | 21.6 | 22.1 | 21.4 | 22.0 | 21.9 | 22.4 | 22.9 |
| | 6H | 21.3 | 21.8 | 21.8 | 22.3 | 22.8 | 21.8 | 22.3 | 22.3 | 22.8 | 23.3 |
| | 8H | 21.6 | 22.0 | 22.1 | 22.5 | 23.0 | 22.0 | 22.4 | 22.5 | 22.9 | 23.4 |
| Variations with the observer position at spacing: | | | | | | | | | | | |
| S = | 1.0H | 0.1 / -0.1 | | | | 0.1 / -0.1 | | | | | |
| | 1.5H | 0.3 / -0.4 | | | | 0.3 / -0.3 | | | | | |
| | 2.0H | 0.4 / -0.5 | | | | 0.4 / -0.5 | | | | | |